

# КАТОДНЫЙ СТАТИЧЕСКИЙ ДОМЕН В ДИОДЕ С МЕЖДОЛИННЫМ ПЕРЕНОСОМ ЭЛЕКТРОНОВ

**О. В. Бонула, Д. В. Павленко, Э. Д. Прохоров**

*Харьковский национальный университет имени В. Н. Каразина,  
4, пл. Свободы, Харьков, 61077, Украина, Тел.(0572) 7051262*

Поступила в редакцию 15 ноября 2008 года

Рассматривается диод, в котором при определенных условиях образуется катодный статический домен, в котором при больших напряжениях может развиваться ударная ионизация. Возникновение ударной ионизации приводит к лавинно-пролетному эффекту и возникновению шумовой генерации. Ниже показано, при каких напряжениях на диоде можно получить напряженности электрического поля в таком домене  $\sim 200$  кВ/см (для GaAs при одинаковой зависимости дрейфовой скорости электронов от напряженности электрического поля  $v(E)$  в области катода и в объеме GaAs-диода)

**КЛЮЧЕВЫЕ СЛОВА:** статический домен, зависимость  $v(E)$ , напряженность электрического поля.

## ВВЕДЕНИЕ

В работе [1] была высказана идея о возможности создания катодного статического домена, в котором возможна ударная ионизация, лавинно-пролетный эффект и шумовая генерация в широком диапазоне частот. Оценка максимальных напряженностей электрического поля вблизи катода была проведена на простейшей модели, в которой учитывалась только электронная составляющая тока и скорости электронов в областях диода считались постоянными. Идея о возможности шумовой генерации была подтверждена экспериментально [1]. В настоящей работе приводится анализ процессов в рассматриваемой структуре на основе локально-полевой модели при одинаковой зависимости дрейфовой скорости электронов и дырок во всех областях диода.

## МЕТОДИКА РАСЧЕТОВ

Рассматриваемая структура диода показана на рис. 1. Параметры областей:  $n^+$  сильнолегированные области катода и анода (концентрация  $5 \cdot 10^{16} \dots 10^{17}$  см $^{-3}$ ) с омическими контактами на катоде и аноде,  $n$ -область легирована слабее (концентрация  $1 \dots 5 \cdot 10^{16}$  см $^{-3}$ ) с длиной  $L_2$ , область вблизи катода  $L_1$  легирована примерно на порядок меньше  $n_k$  ( $10^{15}$ ) и концентрация в ней может варьироваться также как и длины областей. Переходные области  $n^+ - n_k$ ,  $n_k - n$ ,  $n - n^+$  конечны по величине и составляют  $0,1 \dots 0,5$  мкм. Зависимости дрейфовой скорости электронов и дырок от напряженности электрического поля записываются выражениями (7,8) и одинаковы для всех областей диода (это можно считать первым приближением в рассматриваемой задаче).

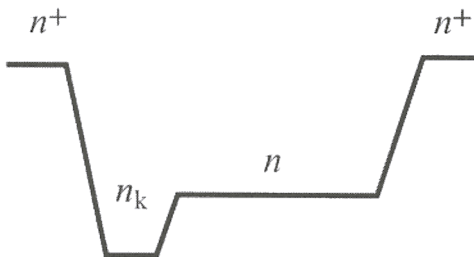


Рис.1. Структура рассматриваемого диода

При рассмотрении электронных процессов в диоде используется система уравнений, состоящая из уравнений непрерывности для электронов (1) и дырок (2), уравнения Пуассона (3) и уравнений для электронных и дырочных токов [2,3]:

$$\frac{\partial n}{\partial t} = -\frac{1}{\rho} \frac{\partial J_n}{\partial x} + \alpha_n(E) |J_n(x, t)| + \alpha_p(E) |J_p(x, t)| - R(n, p) \quad (1)$$

$$\frac{\partial p}{\partial t} = \frac{1}{e} \frac{\partial J_p}{\partial x} + \alpha_n(E) |J_n(x, t)| + \alpha_p(E) |J_p(x, t)| - R(n, p) \quad (2)$$

$$\frac{\partial^2 \varphi}{\partial x^2} = \frac{e}{\varepsilon \varepsilon_0} (n - N_D - p) \quad (3)$$

$$J_n(x, t) = env_n(E) + eD_n \frac{\partial n}{\partial x} \quad (4)$$

$$J_p(x, t) = epv_p(E) + eD_p \frac{\partial p}{\partial x} \quad (5)$$

$$R(n, p) = (np - n_i^2) \left( \frac{1}{\tau_n(p + n_{ie}) + \tau_p(n + n_{ie})} + C_n n + C_p p \right) \quad (6)$$

$$v_n(E) = \frac{\mu_n E + v_s \left( \frac{E}{E_0} \right)^4}{1 + \left( \frac{E}{E_0} \right)^4} \quad (7)$$

$$v_p(E) = \begin{cases} \mu_p E, & E < E_p \\ v_p, & E > E_p \end{cases} \quad (8)$$

$$\alpha_n(E) = A_n e^{-\left(\frac{B_n}{E}\right)^{m1}} \quad (9)$$

$$\alpha_p(E) = A_p e^{-\left(\frac{B_p}{E}\right)^{m2}} \quad (10)$$

где  $i = 1$ ,  $J_n(x, t)$  ( $J_p(x, t)$ ) - плотность электронного (дырочного) тока в диоде,  $D_n$  ( $D_p$ ) - коэффициенты диффузии электронов (дырок).  $\alpha_n(E)$ ,  $\alpha_p(E)$  - коэффициенты ударной ионизации электронов и дырок соответственно,  $C_n$ ,  $C_p$  - коэффициенты Оже рекомбинации,  $\tau_n$ ,  $\tau_p$  - времена жизни электронов и дырок,  $B_n = 1,3 \cdot 10^6$  В/см,  $B_p = 1,3 \cdot 10^6$  В/см,  $A_n = 3,5 \cdot 10^6$  см<sup>-1</sup>,  $A_p = 1,5 \cdot 10^6$  см<sup>-1</sup>,  $m_1 = 1,464$ ,  $m_2 = 1,417$  [4].

Структура исследуемого диода выбирается такой, что приконтактные области диода сильно легированы донорной примесью. Это гарантирует, что поле на контактах будет низким и ударная ионизация в приконтактной области не будет происходить. Поэтому значение концентраций на контактах можно считать величинами постоянными и не меняющимися во времени, что соответствует условию квазинейтральности, выполняемыми для идеальных омических контактов, которое при  $n \gg p$  принимает вид:

$$n(0, t) = N_d(0) \quad (11)$$

$$n(L, t) = N_d(L) \quad (12)$$

Поскольку, полная система уравнений, состоящая из уравнений (1)-(5) с граничными условиями (11)-(12) является нелинейной, то ее решение вызывает большие сложности и его можно осуществить, только используя конечно-разностные итерационные методы, учитывающие специфические особенности данной задачи.

Для получения задачи в виде конечно-разностных использован интегроинтерполяционный метод, предложенный А. Н. Тихоновым и А. А. Самарским [5], с помощью которого можно построить разностные схемы выражающие на сетке законы сохранения (консервативные разностные схемы). Для данной системы построение такой схемы возможно с использованием в качестве базисных переменных  $n$ ,  $p$  и  $\varphi$ . Значения электрического поля  $E$  и токов  $J_n$  и  $J_p$  определяются численным дифференцированием переменных  $n$ ,  $p$  и  $\varphi$ . При переходе к переменным  $n$  и  $\varphi$  для концентрации используются условия (11)-(12), а потенциал полагается равным:  $\varphi(0) = 0$  - на катодном контакте и  $\varphi(L) = V(t)$ , где  $V(t)$  - действующее на диоде напряжение на анодном контакте.

В плоскости  $(x, t)$  вводится равномерная сетка  $\bar{\omega} = \{(x_i, t_j), x_i = ih, i = 1, m+1, h = \frac{l_a}{m}; t_j = j\tau, j = 0, 1, \dots\}$ , где  $h$  - шаг по координате,  $\tau$  - шаг по времени, где:

$$x_i = 0, x_{m+1} = l$$

Кроме того, используются потоковые точки:

$$x_{i+\frac{1}{2}} = x_i + \frac{h}{2} \quad (i = 1, m) \quad (14)$$

## РЕЗУЛЬТАТЫ РАСЧЕТОВ И СРАВНЕНИЕ С ЭКСПЕРИМЕНТОМ

Профиль легирования расчетной структуры диода показан на рис. 1. Параметры областей (длины, концентрации) изменяются в разумных пределах для получения статического домена с высокой напряженностью электрического поля, достаточной для развития в нем ударной ионизации.

В приводимых ниже расчетах скорость – поле для арсенида галлия одинакова для прикатодной области  $n_k$  и для объема диода  $n$  и имеет вид (7,8). В этой зависимости  $\mu_0$  – низкополовая подвижность одинаковая во всех областях диода (и в слаболегированной и в сильнолегированной областях, концентрации при этом разнятся на порядок),  $E_0$  – пороговая напряженность электрического поля, равная для GaAs ~ 4 кВ/см,  $v_s \sim 10^7$  см/с.

На рис. 2 приведены зависимости напряженности электрического поля от координаты при различных приложенных к структуре напряжениях. Максимум электрического поля соответствует границе слаболегированной области и сильнолегированной области. Максимальная напряженность электрического поля растет с увеличением напряжения и при 45-55 В достигает 180 кВ/см. При больших напряженностях начинает сказываться ударная ионизация, это приводит к изменению формы катодного статического домена: домен начинает расширяться в сильнолегированную область (см. рис. 2). В области вне домена напряженность электрического поля меньше пороговой и составляет 1,5...2,0 кВ/см. Зависимость максимальной напряженности электрического поля в статическом домене показана на рис. 3, она отражает зависимости, показанные на рис. 2.

Статический домен образуется не при любых соотношениях концентраций и длин областей диода. Для получения статического домена длина прикатодной слаболегированной области должна быть достаточно протяженной для получения напряженностей электрического поля более 180 кВ/см в арсениде галлия (это длины ~2...5 мкм).

Соотношение концентраций в областях должно удовлетворять определенному соотношению. При небольшой разнице концентраций в слаболегированной области и в объеме образующийся у катода домен отделяется от катода и дрейфует к аноду. Чем больше концентрация в сильнолегированной области, тем больше может быть концентрация в прикатодной области для образования статического домена. Примерное соотношение для этих концентраций для стабилизации домена у катода  $n/n_k \sim 10$ , т.е. концентрация в прикатодной области меньше, чем в объеме примерно на порядок.

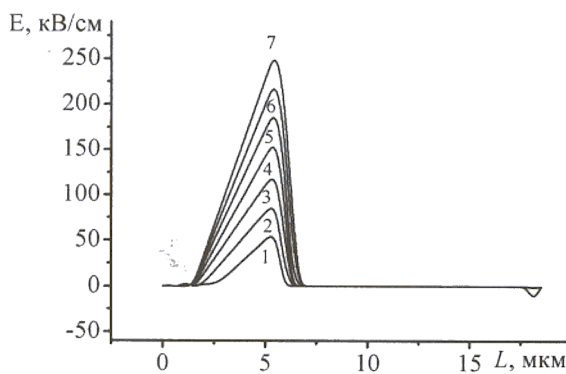


Рис. 2. Напряженность электрического поля в катодном статическом домене при различных приложенных к структуре напряжениях:  
1- 10 В; 2- 20 В; 3- 30 В; 4- 40 В; 5- 50 В; 6- 60 В; 7- 70 В  
(длина прикатодной области 5 мкм, длина диода общая 20 мкм, материал  $n$ -GaAs)

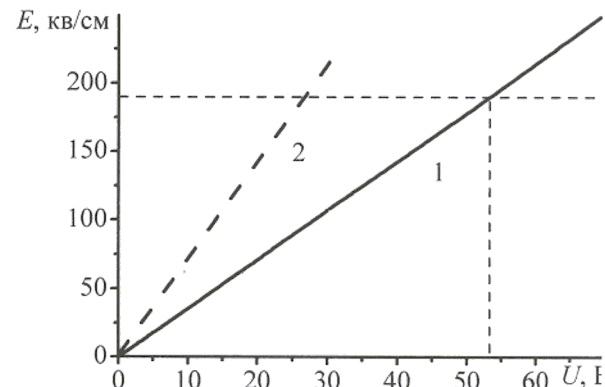


Рис. 3. Зависимость максимальной напряженности электрического поля в статическом домене от приложенного напряжения к диоду (1) (длина прикатодной области 5 мкм, длина диода общая 20 мкм, материал GaAs), 2 – предполагаемая зависимость в экспериментальном лиоле

Вольтамперная характеристика структуры показана на рис. 4. Ток через структуру растет и насыщается. При дальнейшем увеличении напряжения на диоде начинается увеличение тока, обусловленное ударной ионизацией в статическом домене у катода. При этом статический домен сильным электрическим полем за счет ударной ионизации расширяется в сильнолегированную  $n$ -область. Здесь же приведена экспериментальная вольтамперная характеристика диода к катодным статическим доменом с теми же параметрами, что и в приводимых расчетах при работе в непрерывном режиме (длина прикатодной области 5 мкм, длина диода общая 20 мкм, материал GaAs) [6]. Видно, что экспериментальные значения пороговых напряжений  $U_{\text{пор}}$  (напряжений, при которых развивается ударная ионизация в катодном статическом домене и начинается рост тока) меньше расчетных. Экспериментальные значения пороговых напряжений  $U_{\text{пор}}$  для

диодов с разной длиной прикатодной области (3 мкм и 5 мкм) составляли 10...30 В при концентрациях в  $n$ -области  $6 \cdot 10^{15} \dots 10^{16}$  см<sup>-3</sup> примерно в два раза меньше расчетных.

Насыщение вольтамперной характеристики объясняется тем, что основная часть электрического поля сконцентрирована в домене, а вне домена электрическое поле незначительно, поэтому изменение величины тока с ростом напряжения будет невелико.

Необходимо отметить, что нелинейность ВАХ обусловлена так же значительным влиянием диффузационного тока, который возникает из-за больших градиентов концентрации электронов в переходах, особенно в катодном  $n^+ - n^-$  переходе. С изменением длины прикатодной области изменяется и длина сильно легированной области, что также приводит к изменению величины тока через структуру. В целом, экспериментальные ВАХ  $n^+ - n^- - n - n^+$  диодов качественно совпадают с расчетными (рис. 4).

Сравнивая полученные результаты расчета с полученными ранее экспериментальными результатами для тех же длин диодов можно отметить, что экспериментальные значения напряжений, при которых начинается ударная ионизация, примерно в два раза меньше по сравнению с расчетными [1]. Это свидетельствует о том, что в прикатодной области характеристики материала GaAs отличны от объемных характеристик GaAs. Действительно, в

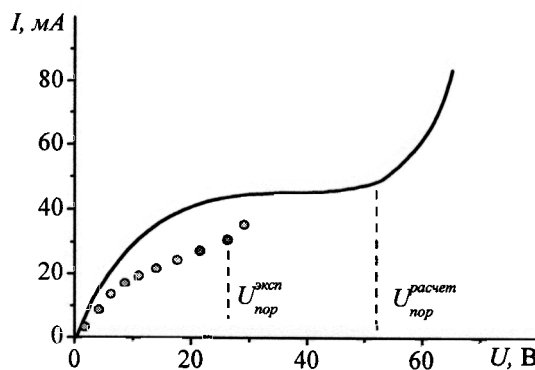


Рис. 4. Вольтамперная характеристика структуры  $n^+ - n^- - n - n^+$  с катодным статическим доменом (длина прикатодной области 5 мкм, общая длина диода 20 мкм, материал GaAs).  $U_{\text{пор}}$  – порог генерации шума диодом

экспериментальных диодах [7,8] слаболегированная область представляла собой полуизолирующий арсенид галлия, который как известно получают в результате легирования электронного GaAs хромом (Cr). Такой материал должен обладать низкой подвижностью носителей заряда (менее 3000 см<sup>2</sup>/В с) и отличной от объема зависимостью дрейфовой скорости электронов и дырок от напряженности электрического поля. Таким образом, для подтверждения теоретической моделью экспериментальных результатов в рассмотренной выше модели катодного статического домена необходимо учесть разные зависимости дрейфовой скорости электронов и дырок в прикатодной области и в объеме. Введение прикатодного слоя с низкой подвижностью и скоростью электронов может скорректировать расчетные результаты и привести к подтверждению экспериментальных результатов.

## ВЫВОДЫ

Таким образом, проведенные предварительные расчеты показали:

- что при определенных соотношениях концентраций и длин областей диода возможно образование катодного статического домена с напряженностями электрического поля, при которых в домене развивается ударная ионизация;
- использование одинаковых зависимостей скорости поле во всех областях диода с катодным статическим доменом приводит к завышенным пробивным напряжениям по сравнению с экспериментальными результатами;
- с целью улучшения модели диода с катодным статическим доменом следует учитывать скорости дрейфа носителей заряда в каждой из областей структуры, которые обусловлены различными подвижностями в этих областях либо различными полупроводниковыми материалами этих областей (например, для  $p^-$ -области – это использование GaAsP с меньшими скоростями дрейфа электронов при различных составах тройного соединения).

## СПИСОК ЛИТЕРАТУРЫ

1. Прохоров Э.Д., Скоробогатова С.Н., Золотарев Е.С. генерация СВЧ шума диодом Ганна с катодным статическим доменом, Радиотехника и электроника, 1976, т.21, №8, с.1732-1739.
2. Зи С. Физика полупроводниковых приборов, -М.-Мир, 1984, т.2, 456 с.
3. Прохоров Э.Д. Твердотельная электроника,-Х.: ХНУ имени В.Н. Каразина, 2008.-544с.
4. Т. Ранг, М. Паусепп Коэффициенты ударной ионизации носителей заряда в <100> арсенида галлия, Электронная техника, сер. 2. Полупроводниковые приборы, 1987, вып2.- с.98-100.
5. Тихонов А.Н., Самарский А.А. Теория разностных схем, М.-Наука, 1983, 616 с.
6. Прохоров Э.Д., Скоробогатова С.Н. Шумовой спектр диода с катодным статическим доменом, Радиотехника и электроника, 1985, №7, с.14447-1449.
7. Прохоров Э.Д., Скоробогатова С.Н. А.С.ССР №1228737 от 03.02.1984, Полупроводниковый прибор для генерации СВЧ шума.
- 8.Прохоров Э.Д., Золотарев Е.С. А.С.ССР №1591775 от 26.07.1989, Диод для генерации СВЧ шума.